

路盤の凍土ならびにコンクリート舗装における輪荷重による応力調査について

建設省関東地方建設局
長野国道工事事務所

千葉 直之
笠間 清美

1. 要旨

長野国道工事事務所管内上信国道18号線は交通の量と共に急速に増加し、これがため凍結、融解期における道路の破壊基準がしくなっているので、将来合理的で経済的な改良工事、舗装厚、路盤厚を決定する資料を得るために凍土調査および輪荷重による応力調査を実施している。

この調査は昭和30年度より調査を開始し、継続中で、調査した資料についても整理考察を進めている段階であり、また僅かな調査結果のみで結論を得ることはむずかしい問題なので調査の結果概要である。

2. 凍土調査

2-1. 調査地点ならびに区間

国道18号線碓井峠～上田間に於いて従来凍土現象を認められた地点5ヶ所を選定した。位置は表～1の通りである。

表～1 凍土調査位置

路線名	観測所番号	位置名	摘要
国道18号	キノ観測坑	長野県北佐久郡軽井沢町沓掛	
"	キニ "	" 小諸市東薺松(小諸)	
"	キ3 "	" 北佐久郡軽井沢長倉字古宿	

国道18号	キマ観測坑	長野県 小諸市西原	
"	次5 "	" 小県郡善野村字芝生田	

ス～ス 調査項目と方法

ス～ス～1 気象観測

調査各地点の測定時における気温(表-2参照)

井沢測候所にて観測した

一般気象関係中、昭和27
～28年迄の最低気温を調
査し、最低気温用平均曲線を
画く。(図～1参照)

ス～ス～2 凍上観測
道路上交通の支障になら
ない位置に幅約10m×10m
深さ12mの観測坑を掘つ
た。(図～2参照)このピッ
トは観測毎に掘り起して在
來の上層をくずさないように
注意して埋め戻した。
凍上量の観測は地表面に表
面凍上測定用として鉄板を
掘えた。

ピットの凍上を受けない

深さに大釘型にした長さ30cmのボルトを打ち込んで基準点(EBM)
を設け、道路中心線側の面を丁寧に削り仕上げ 地表面から約10cm毎
にピンを水平に打ち込み、鋼尺と、レベルを用いてその高さを正確に測
定し、これらのピンの移動量を計って、各層の凍上量を測定した。

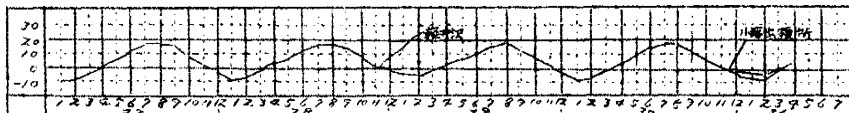
ス～ス～3 地 温

ピンの打込線になるべく近く各ピン点に対応する高さ(深さ10cm以上

表-2 各ピット測定時の気温

月 日	温 度 (C°)			摘要
	小諸	古宿	沓掛	
12.15	3.0			西原は観測せず古宿
22	6.0			沓掛の気温は井沢
23		9.2	9.2	測候所の気温による
24				
1.2	-0.1			
9		-2.0	-2.0	
12	3.5	-3.0	-3.0	
17		+1.2	+1.2	
23	-2.5			
24		-2.3	-2.3	
27		-0.9	-0.9	
30	-3.0			
31		+2.0	+2.0	
2.6	-2.5			
7		+3.5	+3.5	
13	-1.5			
14		+2.0	+2.0	
20	-5.0			
21		+0.3	+0.3	
22	-5.0			
3.3		-0.3	-0.3	
5	-1.5			
12	-2.0			
13		+0.3	+0.3	
19	+6.0			
23		+8.6	+8.6	
28	+2.5			
29		+2.6	+2.6	

図～1 1日最低気温の月平均曲線



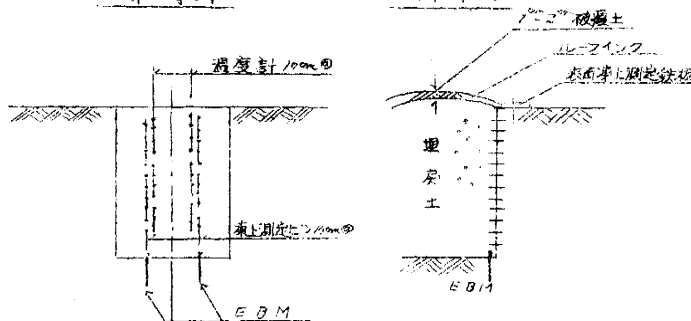
積算温度関係表

測 定 所	昭 27	28	29	30
	~ 27	~ 28	~ 29	~ 31
高井沢	285	190	225	285
小諸出張所	-	-	-	70

図～2

平面図

側面図



の孔を水平に穿ち棒状寒暖計を挿入し 3分～5分間放置して地中温度を測定した。

ス～ス～ヌ 含水比

各ビソに対応する高さにおいて地層断面の壁を掘進し新しい面を出して行った。

ス～ス～ヌ 土 質

上の組成（粒度分布および一般物理試験）は当初観測時に土質の変化の認められた毎に試料を採取し土質試験を行った。（表-3参照）

ス～ス～ヌ 温度深度と凍結状態

凍結状態はスケッチ、または寫真を併用して観測した。温度深度は 1M から高さを測定した。

表～3 土質試験結果一覧表

調査地名	試料番号	地表面から(m)	比重	粒度				コンシステンシー				土質分類					
				最大粒径 (mm)	有効全 (mm)	均等 係数 (%)(%)	10mm 通過量 (%)	200mm 通過量 (%)	以降の 量 (%)	含水量 (%)	砂 率 (%)	粘 性 率 (%)	塑 性 限 (%)	液 限 (%)	指 数	粒度 区分	粒度 区分
1-1	20	2.71	60	52	223	1.1	31.8	10.6	87.8	5.0	20	-	-	-	砾交ソ砂	粘土	
1-2	23	2.77	50	0.37	320	0.7	82.0	24.0	20.0	5.0	8.0	27.3	34.0	11.3	砾砂	砾砂	
1-3	36 下部 砂礫土	2.76	100	1.9	257	0.1	28.7	15.0	35.8	12.2	2.0	2.0	-	-	砂質ローム	砂質ローム	
2-1	10	2.68	50	1.0	10.0	0.2	87.5	27.0	35.0	12.5	5.0	26.2	32.5	8.9	砾交ソ	砾交ソ	
2-2	11	2.75	36	1.0	27	3.9	7.8	25.0	35.2	15.5	8.0	21.6	35.7	15.9	砂質ローム	砂質ローム	
3-1	10	2.86	40	52	1020	5.2	37.0	13.9	27.8	42.2	6.0	7.0	-	-	砾交ソ砂	砾交ソ砂	
3-2	25	2.80	40	0.36	80.0	22.5	81.0	33.8	21.5	48.5	18.0	35.4	22.2	13.0	砾交ソ	砾交ソ	
3-3	35	2.70	60	0.29	1025	0.7	65.9	35.0	19.3	49.7	12.0	12.0	29.6	27.0	12.8	砂質ローム	砂質ローム
3-4	25	30	0.07	-	921	95.2	80.5	5.9	36.7	26.0	32.0	9.2	23.2	22.0	粘土	粘土	
3-5	20 下部 砂礫土	2.82	50	0.52	123.5	7.5	55.9	32.0	28.5	47.5	23.0	20	55.3	22.5	22.6	砂質ローム	砂質ローム

芝生田 岱掛地点は土質試験はおこなわなかった。

2~2~7 地下水

地下水位は毎回凍上観測毎に調査した。(表~4参照)

表~4

古 観 測 宿 坑	西 観 測 原 坑		沓 観 測 坑	小 観 測 坑	
月 日	地下 水位 (cm) 地表面よりの深さ	月 日	地下 水位 (cm) 地表面よりの深さ	月 日	地下 水位 (cm) 地表面よりの深さ
12. 23	80				地下水低く
1. 9	90				透水なし
17	67	1. 10	110		
27	20	2. 1	20		
31	20	15	90		
2. 14	80	22	50		
21	50	3. 21	10		
3. 3	60				
18	60				
23	30				
29	50				

2~3 調査結果の概要

2~3~1 凍結凍上の進行状態

各観測坑共一般的なことを述べると地盤の凍結 凍上の進行状態はその地点の地形、地域などの変化により異なると共に、その年の気象とか気温の推移などにより一定でないと考えられるが 30年11月下旬より、31年2月初旬まで観測した凍上の推移は2月下旬から3月初旬に最高に達した。3月中旬より下旬にかけ地表面や地下 20cm の地点は融解を始め 地下 20cm ~ 30cm の地点に凍結層の残存しているのが認められた。凍結初期(全般的に見て1月と判定すれば)の凍上に対しての度深度が大きく影響すると考えられるが、その後は凍上が増加してもの度深度線は深層增加しなかつた。

凍結 凍上の進行状態は図-3に示す通りである。

2~3~2 凍結状態

路盤、路床内の凍結状態は気象条件、土質種別、含水量などにより一定しないが一般に路面附近粗粒材表面下には冰層、皚皚状態があらわれたのを観察している。

2~3~3 最大の度深度と

最大凍上量との

時期

この程度の観測から凍結、凍上の最大量とその発生時期を確実にさめることはむずかしいが大体の傾向を知ることが出来ると言える。この調査における各観測坑別の度深度と凍上の規模は表~5のとおりである。

表~5 最大の度深度と最大凍上量

路線番号	箇所番号と位置名	○度深度		△上傾斜凍上の 月日　凍上量(cm)	
		月日	深さ	月日	凍上量(cm)
十八号線	N6.1 脊掛	2.21	70	3.13	69
	N6.2 小諸	1.30	25	2.6	12
	N6.3 古宿	1.27	30	3.3	56
	N6.4 西原	-	-	2.29	0.6

2~3~4 凍上量の深度分布

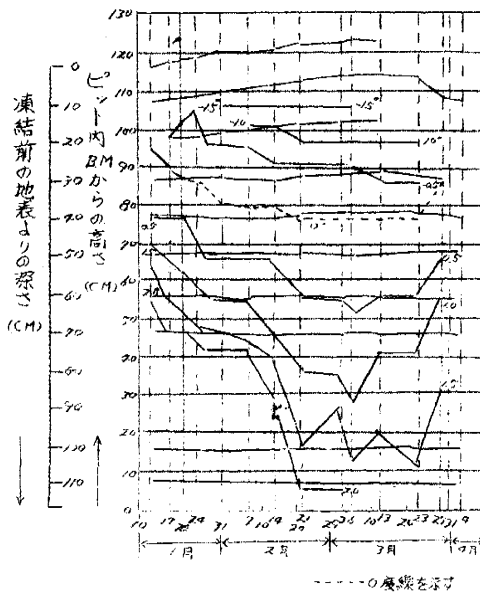
凍上量を構成する各部の変形量は土の凍結時における色々な原因によってそれぞれきまとると考えられるが我々の調査による深度分布を図示すると図~4の通りである。

これによると各部分の凍上の時間的推移、凍上量の深度分布深部凍上の時間的溝れなどを知ることができます。

2~3~5 深度　含水量、地温の移動関係

図~3 等温線と凍上の進行状況

脊掛地点



設置当初の含水量と地温の関係と凍上量最大期における含水量の移動、地温の変化状態を比較すると図へ5のようである。

ス～タ 各ピット試験に対する結果

以上の調査より実測の度深、観察最大凍結深など一括取締めると表へ6のようになる。

表へ6 凍結調査

観測坑名	実測最大の度深(cm)	観察最大凍結深(cm)	摘要
沓掛	40	20	
小諸	25	20	
古宿	30	30	
西原		20	

以上のような凍結深にあるが盤厚を検討する場合その地点別の土質に対し交通輪荷重面からも考えどのよくな厚さになるか力学試験の結果をまち、凍結深と検討して盤厚の大なる方を採用すべきであらうと考える。

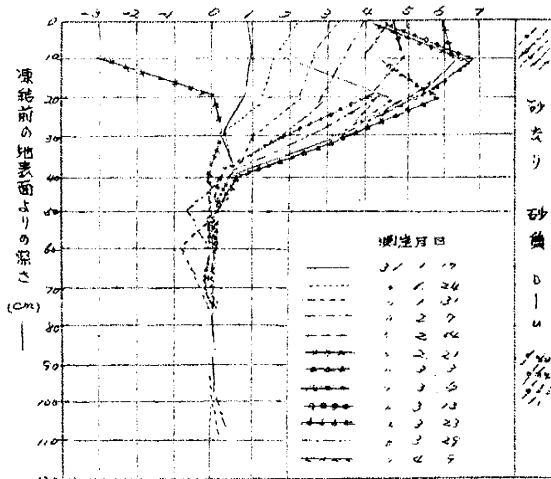
3. コンクリート舗装における輪荷重による応力調査

ア～イ 調査位置及設備と調査方法

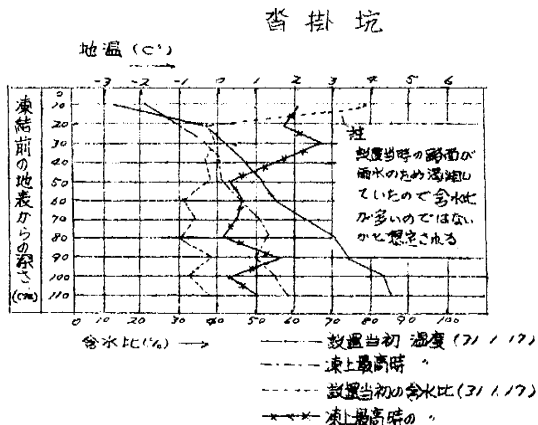
長野県小諸市四ツ谷地内にコンクリート試験舗装版(長5.0m×巾3.25m×厚23cm)を設置し、温度変化測定のための銅コンスタン線、応力測定のための応力計を図へ7のとおり設置し、総目地、地点を起点0cmとし、

図へ2 凍上量の同時曲線

沓掛地点



図へ5 深度含水量
地温関係図

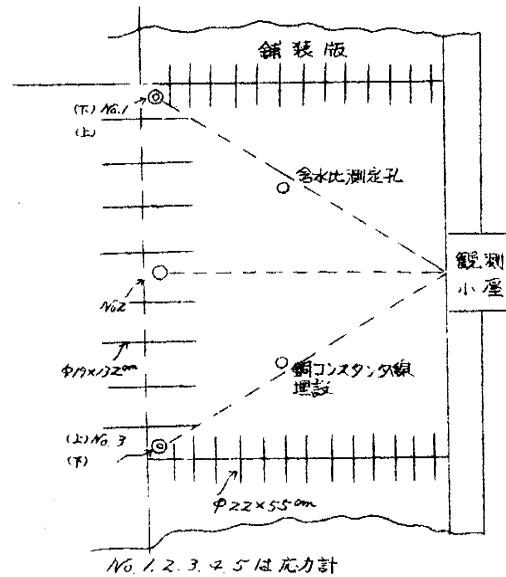


(92)

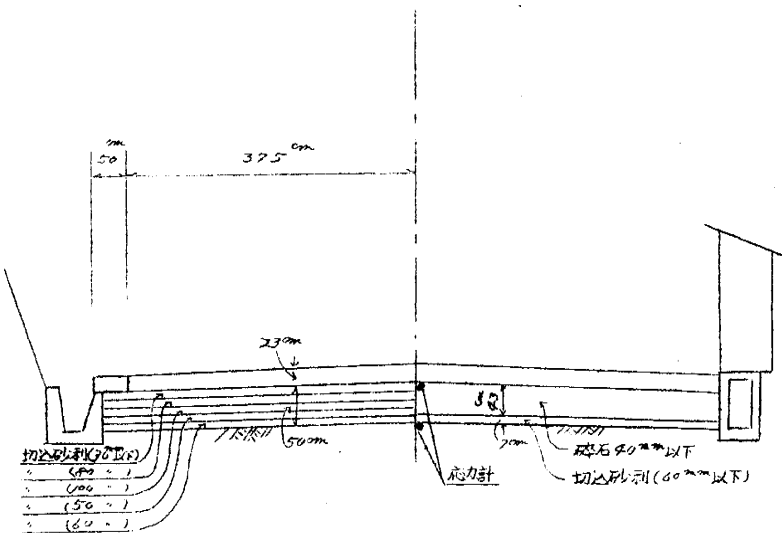
それより 20cm, 40cm, 60cm, 100cm と通過位置をきめ 震動的
の場合の各応力を測定した。

図～6

試験舗装版平面図 $S=1/100$



試験舗装版横断図 $S=1/100$



3~2 路床の状態

所定の深さまで掘下げた転圧前の路床材に対する一般物理試験及び支持力関係の試験結果は表～7及表～8の通りである。

表～7 路床材一般物理試験結果

比重	最大空 mm	有効空 mm	均 数	筛通過量(%)			礫分量 (%)	砂分量 (%)	シルト (%)
				10番	20	200			
2.61	20	0.05	17	24.9	39.8	12.9	25.1	64.8	0.5

粘土 (%)	コンシス デンシー	土砂 分類	現場含水率(%)				透水 度	乾燥 密度
			表面	20cm	40°	60°		
1.5	/	整石混り砂	21.7	17.7	16.8	16.7	19.2	15.21 / 12.98

表～8 路床材支持力関係試験

支持力比	非水浸	22.1 %
	水浸	11.7 %

3~3 路盤

路盤に使用した材料の粒度曲線は 図～1の通りである。

路盤施工後の支持力係数は 10m マカダムローラで 20回転圧の時 K_{75} 10.7 で密度 2.36 を示し その後舗設まで自然交通による転圧を行い コンクリート打設直前の支持力係数は $K_{75} 11$ を示した。

3~4 圧力計の埋設

隅角部におけるエーメント M は荷重に対して隅角半分線上で最大となるとし次の様に計算し埋設した。

条件

後輪荷重 $\approx 10m$

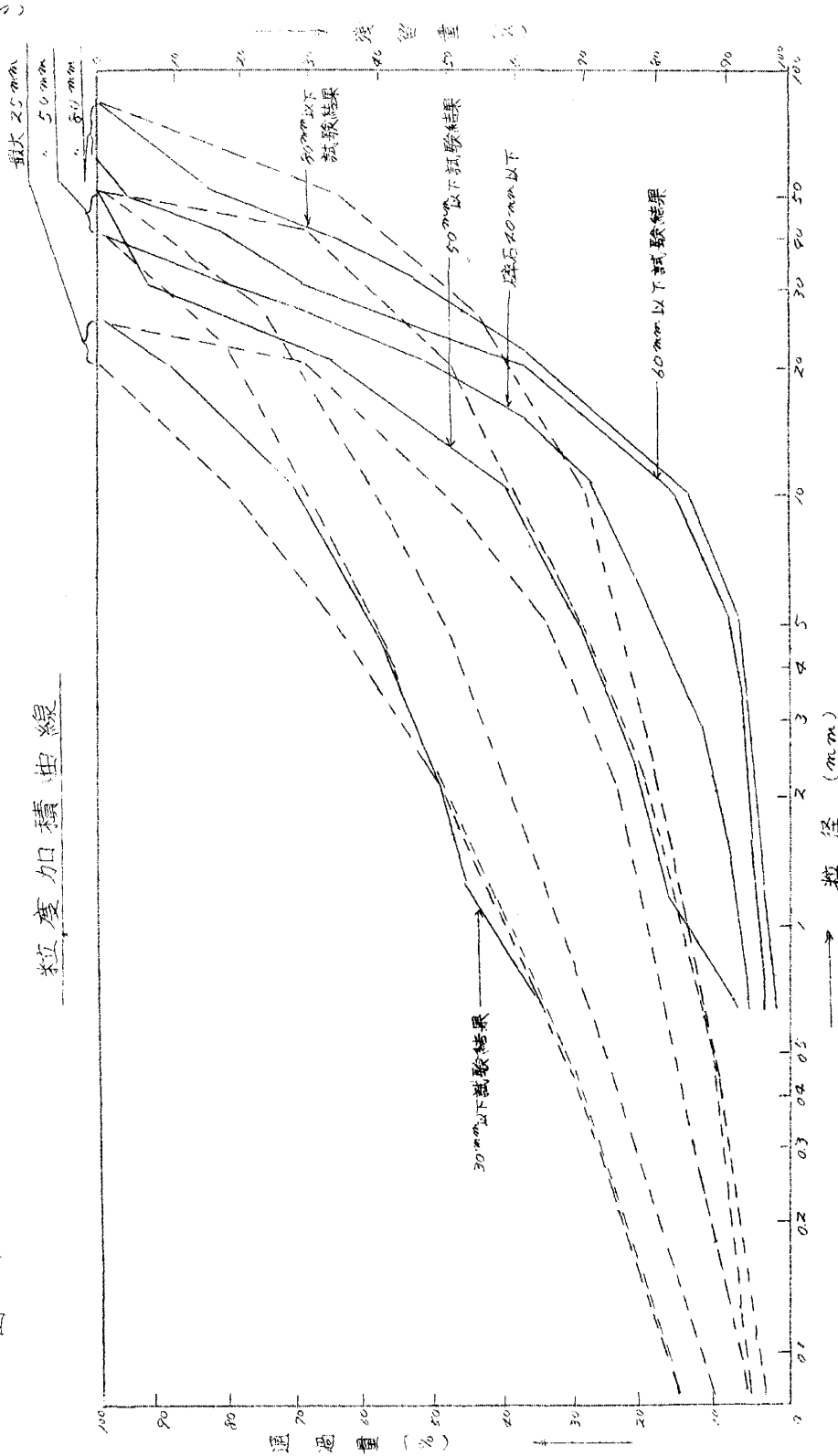
衝撃率 20%

接地円有効半径 $a = 20cm$

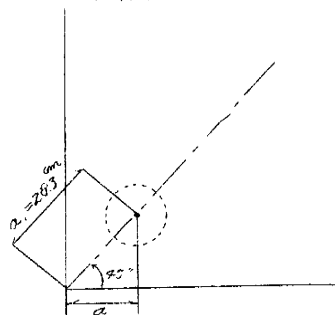
$$a_1 = a \sqrt{z} = 20\sqrt{3}cm$$

圖 - 7

粒度加權曲線



図～5 隅角部圧力計埋設位置



縁端部は、版の縁端線と圧力計の中心点とが一致するように埋設する
のが妥当であるが施工困難のため圧力計の円周端を縁端部に沿わせて埋
設した。

尚、使用した圧力計は新興通信工業製のもので路盤下には応力測定範囲
(圧縮) 1.5 kg/cm^2 のものを使用し、舗装版下には 12 kg/cm^2 のものを使
用了。

3～5 舗装版

舗装版厚 23 cm としタイバー、スクリップバーを挿入し膨脹目地間隔は
 5 cm とし、その示方配合は次の通りで、養生は 15 時間シートで覆い、
その後砂 5 cm 厚の上に雑巾をかけ十分撒水した。交通開始は 14 日後とし
た。

表～7 コンクリート示方配合

粗骨材 最大寸法 (mm)	スランプ (cm)	単位 水量 (kg)	単位 セメント量 (kg)	W/C (%)	S/A (%)	S (kg)	G (kg)	混和比 C : S : G	比 重			摘要
									C	S	G	
40	15	139	320	43.5	32	670	1350	なし	3.12	2.65	2.63	

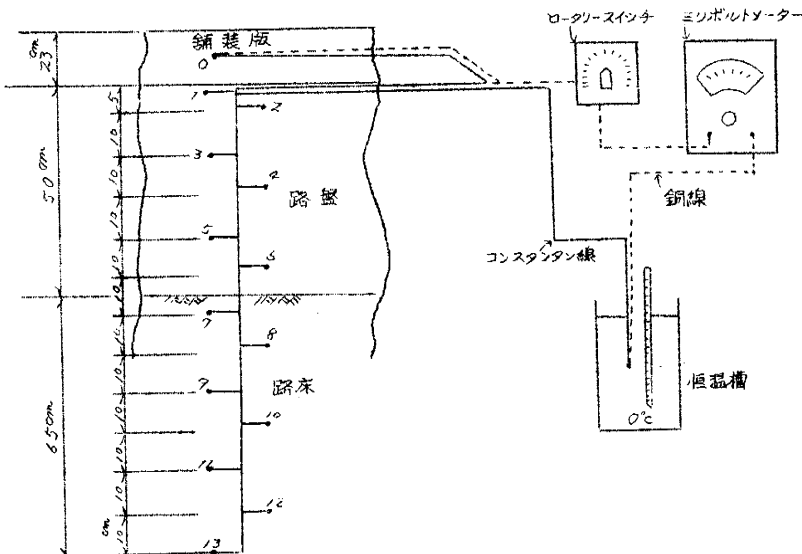
舗装には工事規模が小さいので三キサー 3 切 2 基であったためと施工
が 12 ～ 1 月の冬期であったため良いコンクリートではなかつたが、ス
ランプス 5 ～ 6 ら、空気量 1.7 ～ 2.1、セメント曲げ強度 44 kg/cm^2 で
あつた。

3～6 舗装版 路盤 路床の温度変化

舗装版 路盤 路床の温度変化を熱電対を利用して測定した。（図～7
参照）

熱電対には銅コンスタタン線を使用しミリボルトメーターにより抵抗変化を読みとり予め作成された較正線によって調査地點の温度を測定した。

図-9 温度変化測定装置



3-7 凍上量測定

舗装版の上界を基準標を設け測定したが施工後時日の経過少く、路盤材料を複数層せす地盤水も浸透する傾向がなかったことと路盤厚5.0cmのためかノースmmの上界が見られたが、これは観測誤差と思われる。試験舗装版については凍上は無かったと考えている。

3-8 圧力測定

3-8-1 自動車荷重

民生リカグンブトラック（積載量6t）を使用し タイヤ空気圧は2.0ポンド一定とし、並みリングの上に前、後輪をのみダイヤルゲージにより輪荷重を求めた。同時にタイヤの接地面積も同時に求めた。測定に使用した自動車荷重及び接地圧は、表-10の通りである。

表-10 圧力測定時の自動車荷重及び接地圧力

測定年月日	使用自動車	タイヤ圧	輪荷重		全荷重	接地面積cm ²		接地圧力		備考
			前輪	後輪		前輪	後輪	前輪	後輪	
33.3.19	民生UO グンフ	ポンツ 90	1.8	5.3	19.2	715	1,350	5.71	5.93	
33.3.20	"	90	1.6	4.7	12.0	273	1,088	5.65	5.07	
"	"	90	1.5	1.6	6.2	278	800	5.90	2.00	
33.3.26	"	90	1.7	8.2	12.8	300	1,200	5.67	3.91	

3~8~2 測定及応力計算

自動車荷重の速度を0, 5, 10, 20, 30, 40km/h. と変化させ各速度毎に圧力計に対する荷重の作用位置を直上, 20cm, 40cm, 60cm, 80cm, 100cmと移動させた時の現象波形を金属細線抵抗線歪計(新興通信工業株式会社製D.S.C. R型)を用いてペン書きオシログラフに記録し、この波形と較正表より圧力を読みとった。

4 調査結果及考察

4~1 含水比変化

路盤路床の含水比の変化を測定し、路盤材料と含水比、温度と含水比の関係等を調査しようとしたが信頼でき結果を得ることは出来なかつた。

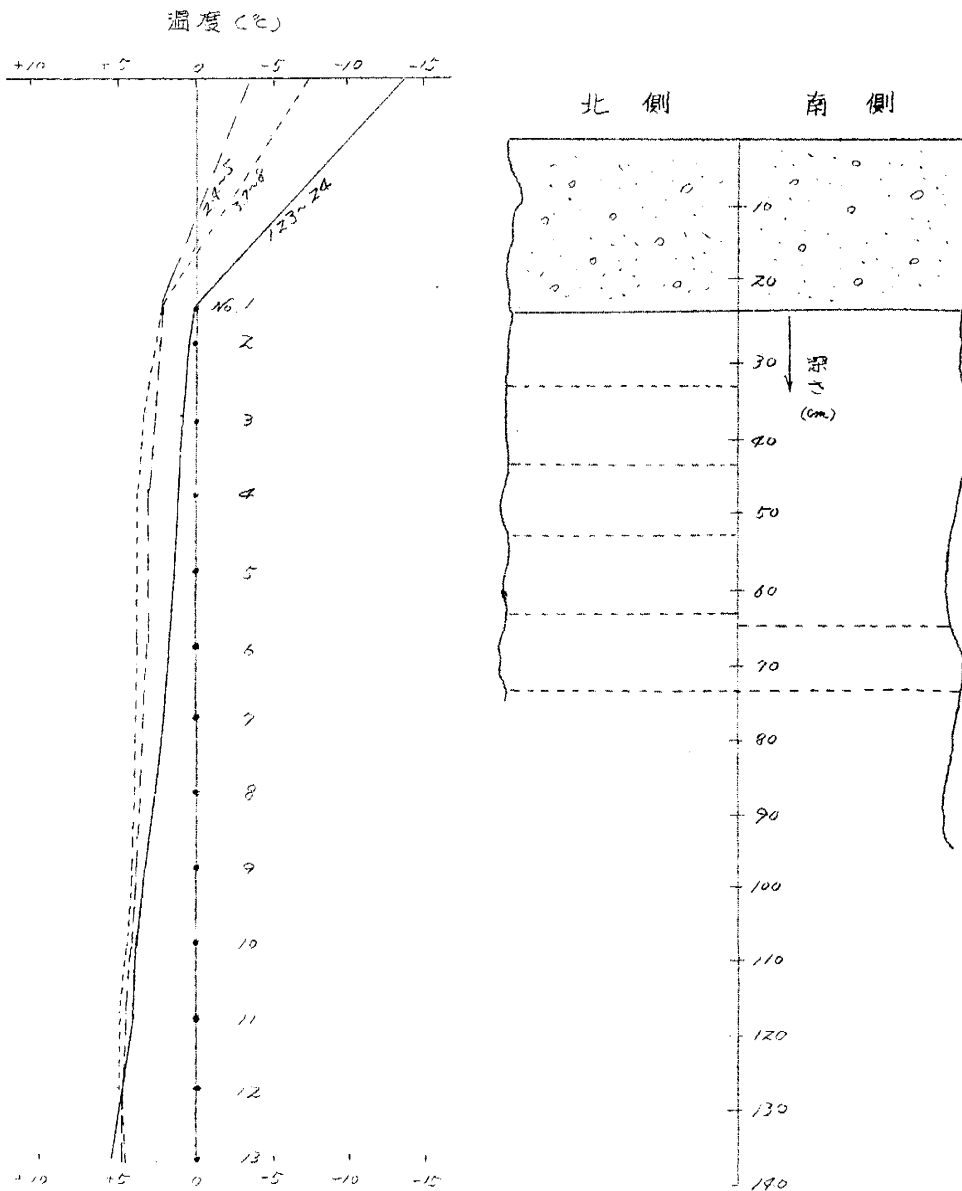
4~2 温度変化

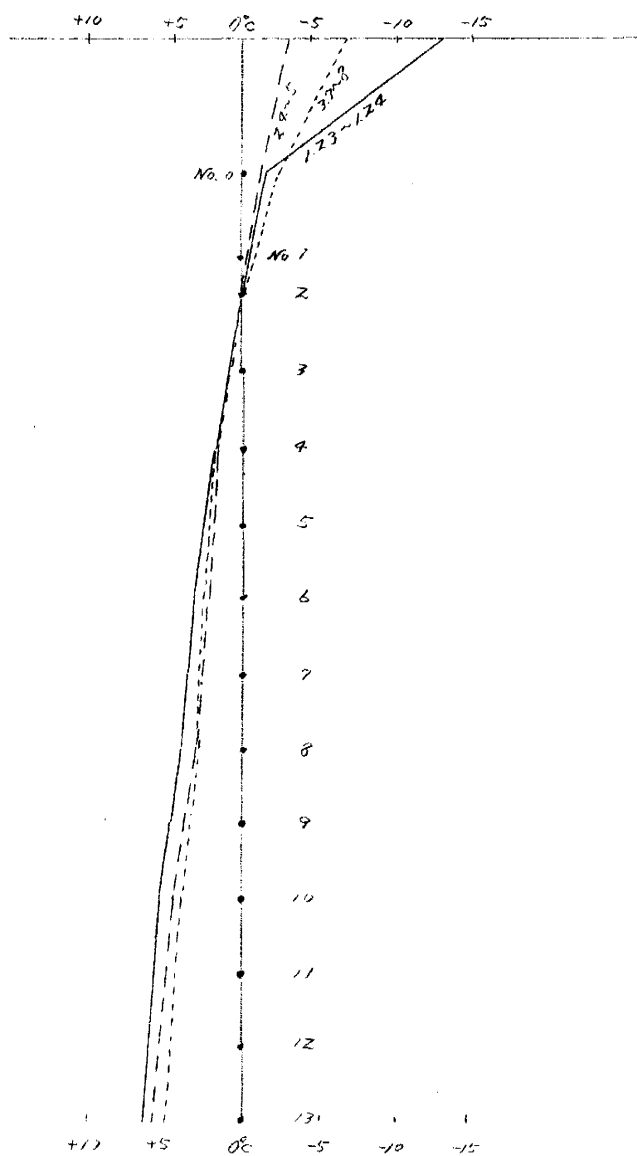
外気温の低下しさうな日を送りスヌ時間観測をしたが暖冬異常といはれたため気温の低下は著しくなく又1月23日~24日に最低気温-40°Cとなつたが長期間にわたるものでなくすぐ気温が上昇したため気温低下は地中深く影響をおよぼさなかつたのではないかと考える。

一番気温の低下する午前6時頃の温度の深度分布は図-10の通りである。図-10に示す南側には舗装版に骨材がおいてあつたためほとんど車は通らず北側舗装版のみ車が通っていたので北側は舗装版以下の温度は氷点下を下ることなく南側はわざかではあるが氷点下に下ったが舗装版下20cm以下は氷点以下とならずこの路盤厚では凍土のおそれはない様

に当はれる、路盤厚と温度変化、路盤材料と温度変化、含水比と温度変化等を調査することによって温度変化に対する経済的路盤厚を決定する資料にすることが出来ると考えている。

図～10





ス～3 壓力測定

N6.1 2. 3 の各地点の測定結果より静止より 20 km/hr 範囲における最大应力より最小应力範囲を示せば表-11 のようである。

表-11

測定位置	測定年月日 (昭和)	載荷全荷重 (t)	後輪による接地圧力 (kg/cm ²)	舗装版直下に圧力計を埋設した場合の应力 (kg/cm ²)	舗装版直下に圧力計を埋設した舗装厚より10cmの点の应力 (kg/cm ²)	路盤直下に圧力計を埋設した場合の应力 (kg/cm ²)	路盤直下に圧力計を埋設した舗装厚より10cmの点の应力 (kg/cm ²)
N6.1	33.3.19	17.2	3.73	0.1~0.05	微小にして測定不能	0.05~0.01	0.02~0.01
	3.20	12.0	7.02	0.12~0.10	0.02~0.01	0.03~0.05	0.02
	"	6.2	2.00	0.07~0.02	0.01~0.005	0.07~0.03	0.01
A6.3	33.3.19	17.2	3.93	0.10~0.05	微小にして測定不能	0.13~0.10	0.07~0.02
	3.20	12.0	7.02	0.16~0.11	0.05~0.01	0.08~0.05	0.02~0.03
	"	6.2	2.00	0.10~0.07	0.04~0.01	0.06~0.03	0.02~0.01
N6.2	33.4.19	17.2	3.93	/	現象波微小にして測定不能	縫端部は路盤直下に圧力計は埋設していない。	
	3.20	12.0	7.02	0.02~0.01			
	"	6.2	2.00	0.02~0.02			

表-11によると比較的矛盾と考えられる应力結果をあらはしていふが大別して考案すること。

i) 昭和32年4月に当車務所においてタイバー・スクリップバーを入れず舗装厚20mmとして同様の方法により実験したが、それに比較するとタイバー・スクリップバーを入れた今回の実験結果は予以下と云う小さい値を示している。

スクリップバー、タイバーの効果は極めて大きいと考えることが出来る。

ii) 荷重増加に比例して应力は大きくなっている。

iii) 速度度の場合には应力が大である。

なお舗装版直下の应力に関しては余りに小さすぎて不合理と考えられる。

之に圧力計の埋設法に誤りがある。(受圧面が逆方向に埋設されている?) にも考へらる。

iv) N6.1 と N6.3 各地点は同じ隅角部圧力計を埋設したにもかくわらず最

大応力に差があるのは No.1 地点に後輪が来る時は前輪は試験版より外れ、No.3 地点の時は前輪が試験版上に載荷しているため前輪の荷重の応力も隅角部に影響しているためであろう。

以上の事項が現在までに測定した結果であるが応力の傾向を知ることが出来た程度でこれらの確実な応力をつかむためには今後の実験結果をまたなければならぬ。

5. むすび

以上測定結果を資料が少いながら生のまゝ概要のべたが 路盤厚と温度変化及び含水比の変動の状態 並に圧力測定については使用する荷重条件を合理的に考えると共に圧力計の埋設法も検討し確実な応力をつかむための実験を行う予定である。併せてコンクリートの内部応力を調査したいと考えている。なお測定にあたつていろいろ御指導にあづかった関東地建谷藤道路部長 伊東専門官ならびに御協力をいただいた関東地建材料試験室清水技官に深く感謝します。